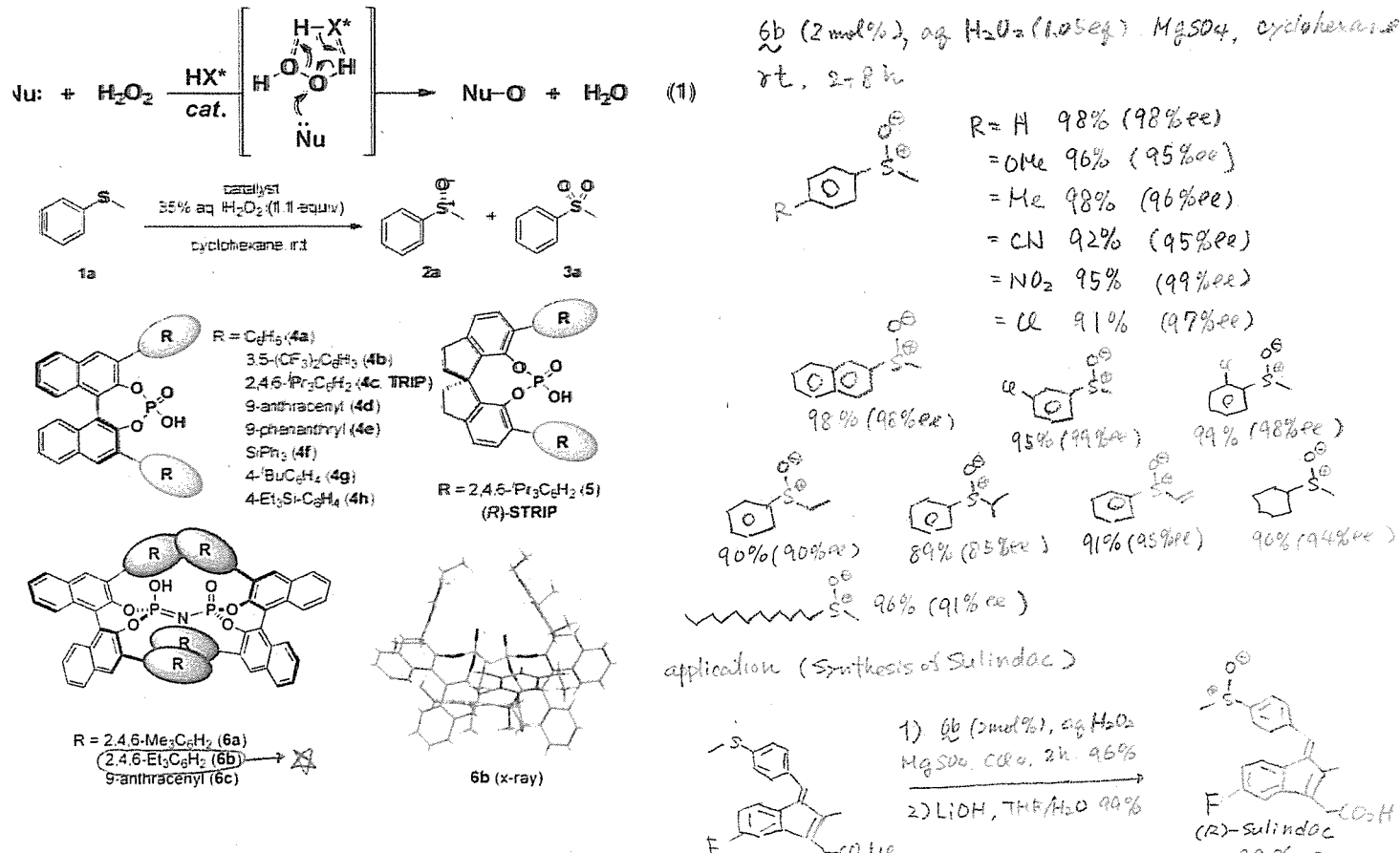
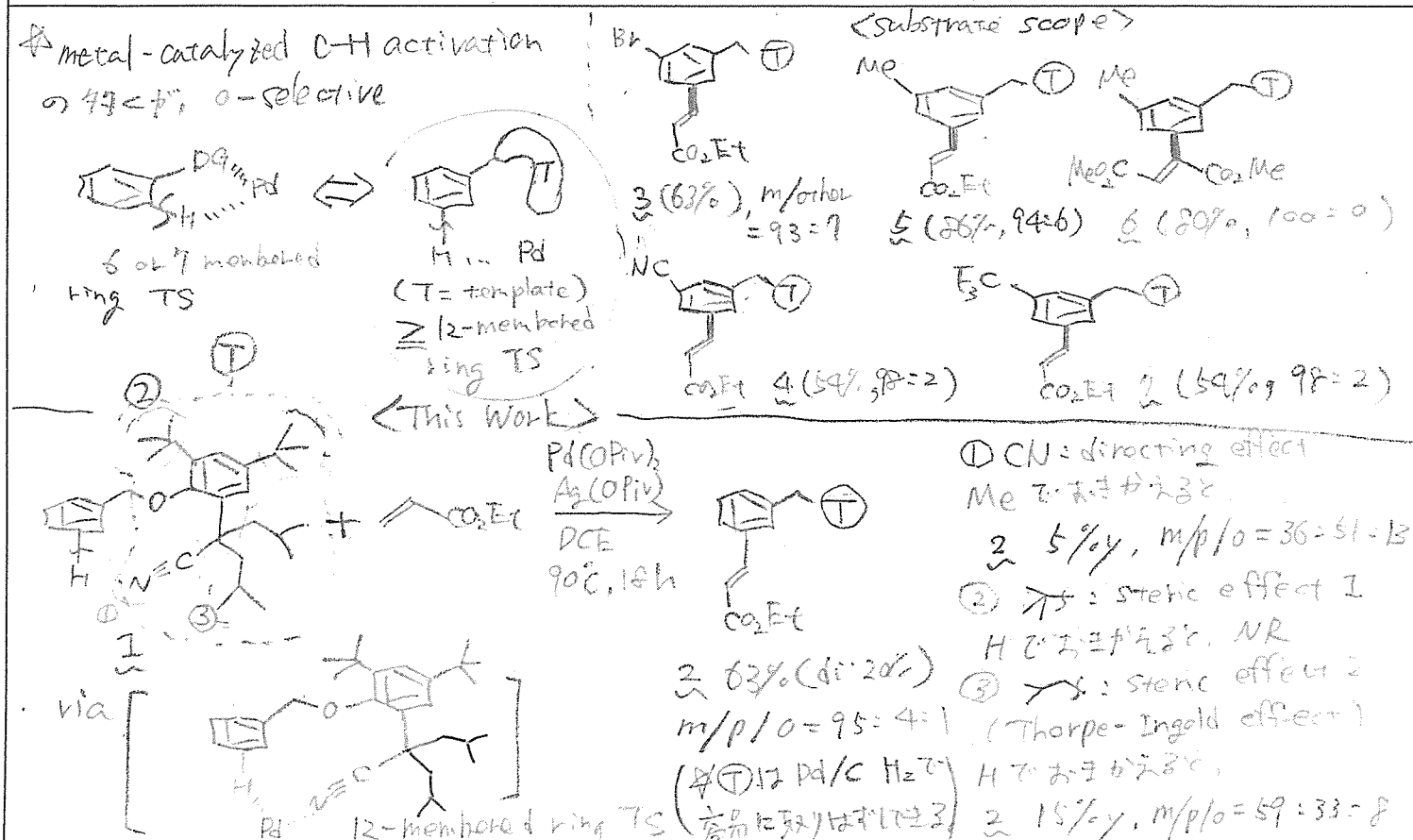
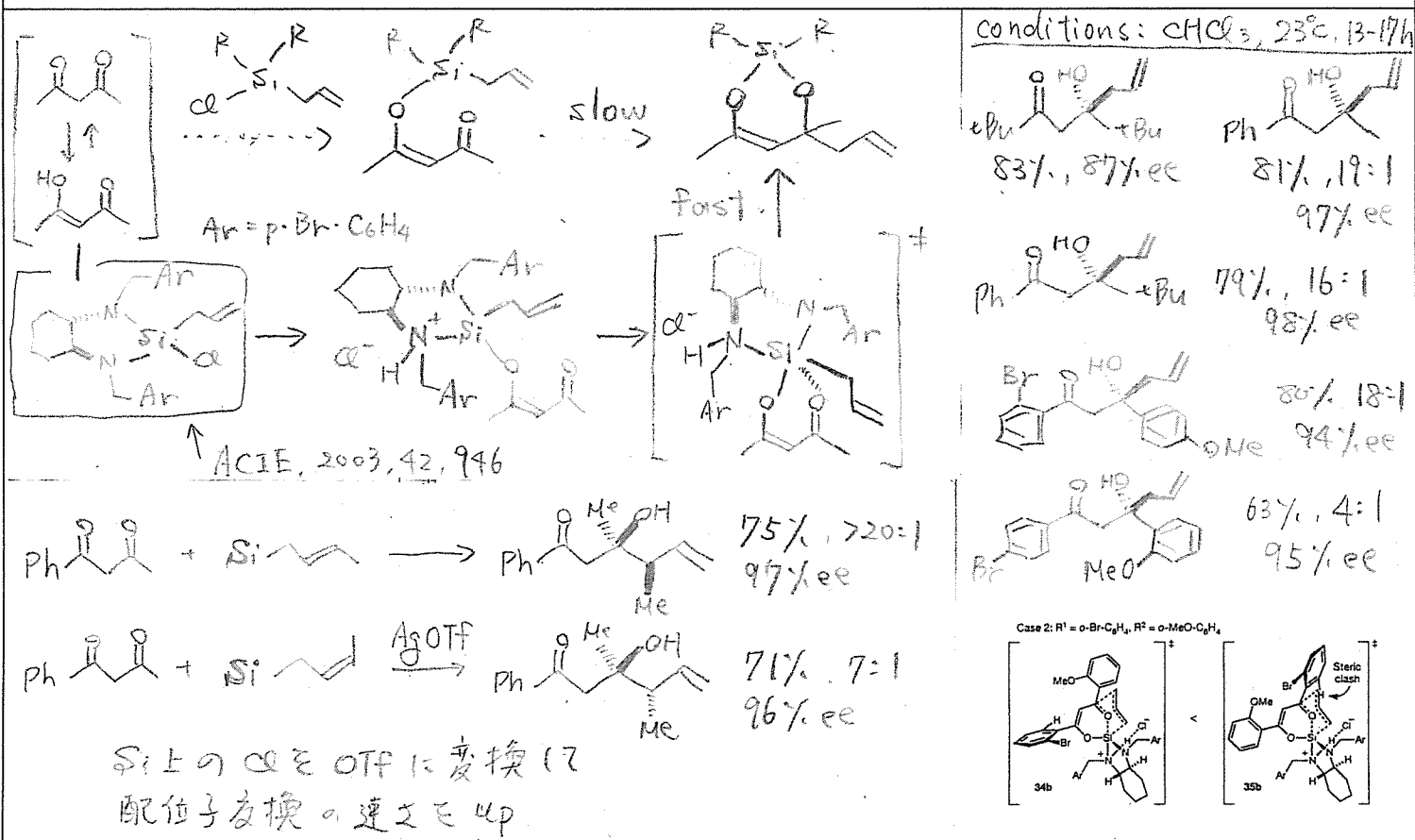


Activation of H₂O₂ by Chiral Confined Brønsted Acids: A Highly Enantioselective Catalytic Sulfoxidation

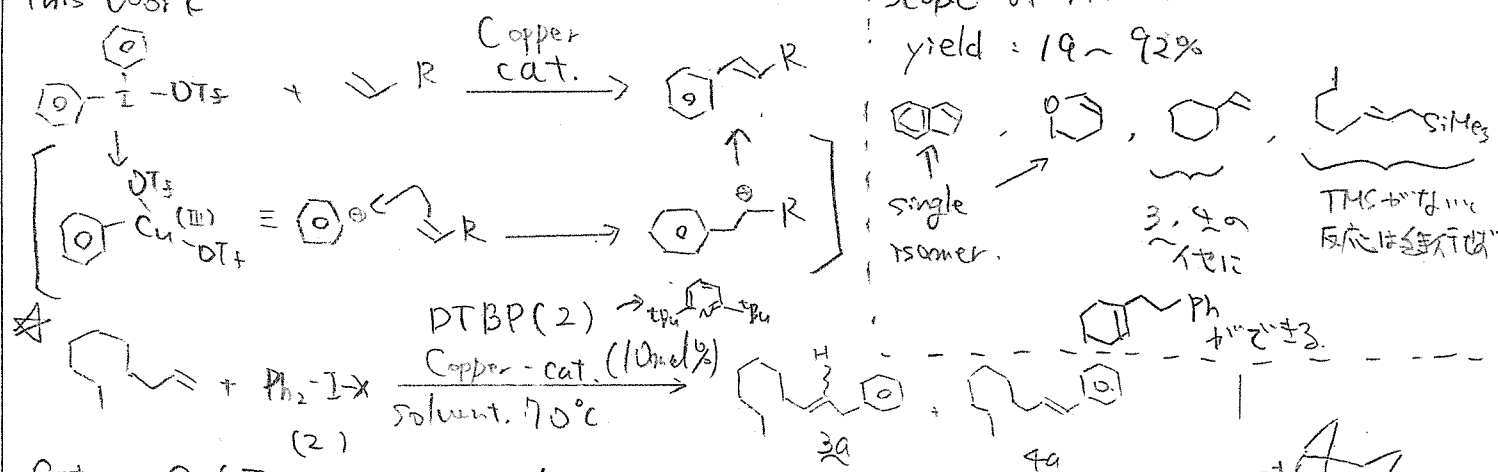
Activation of remote meta-C–H bonds assisted by an end-on template



Direct and highly regioselective and enantioselective allylation of β -diketones

Copper-Catalyzed Alkene Arylation with Diaryliodonium Salts

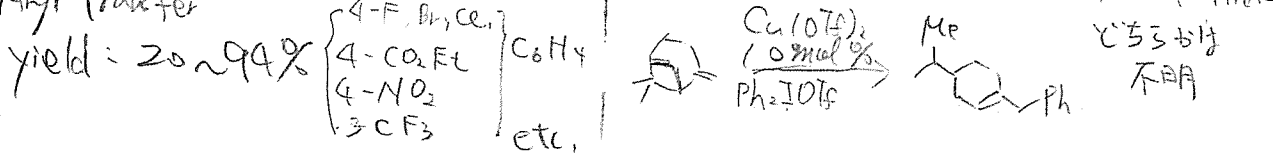
This Work



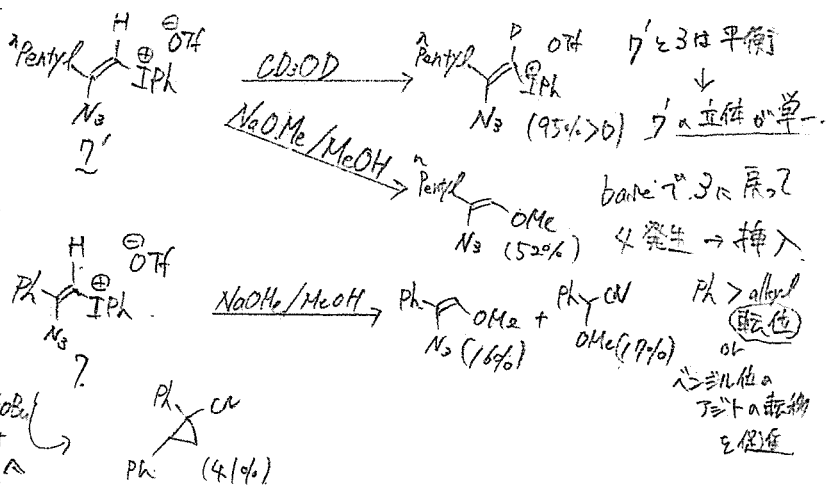
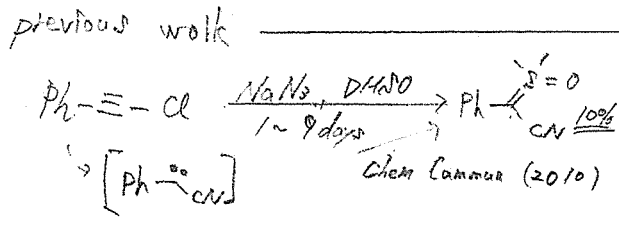
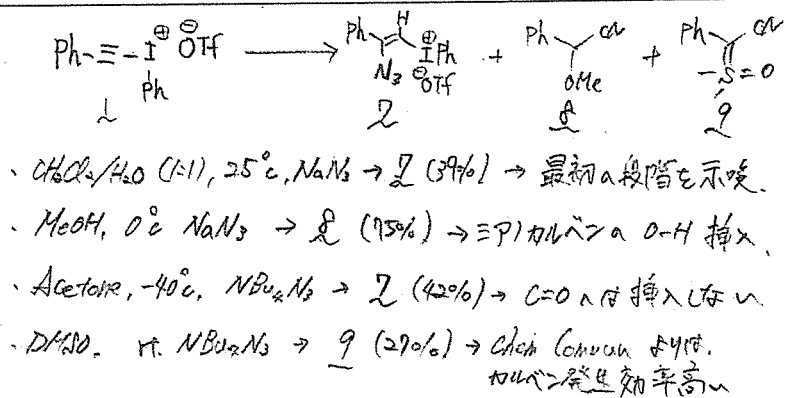
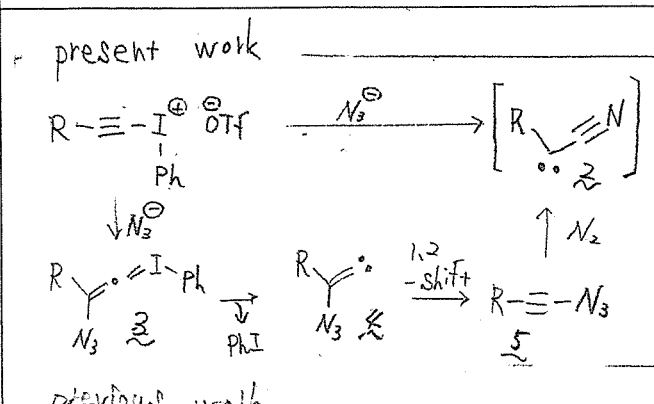
Cat.: Cu(OTf)₂, X = OTf, sol: CH₂Cl₂, 反応は進行。
 ★ Cu(I)でも(II)でも反応は進行
 110°Cまで昇温するだけ、Cuなしでも反応は進行

Scope of Aryl Transfer

Mes-I-OTf.

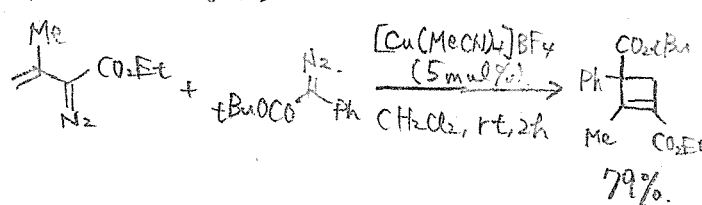


Reactions of Hypervalent Iodonium Alkynyl Triflates with Azides: Generation of Cyanocarbenes

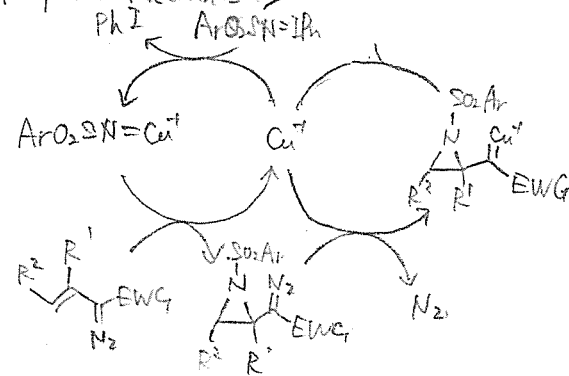


José Barluenga Luis A. López et al	Universidad de Oviedo (Spain)	Chem. Eur. J 10.1002/chem.201200998	三田田
Copper (I)-catalyzed [3+1] Cycloaddition of Alkenyl(diazoacetates) and Iminoiodinanes: Easy Access to Substituted 2-Azetines.			

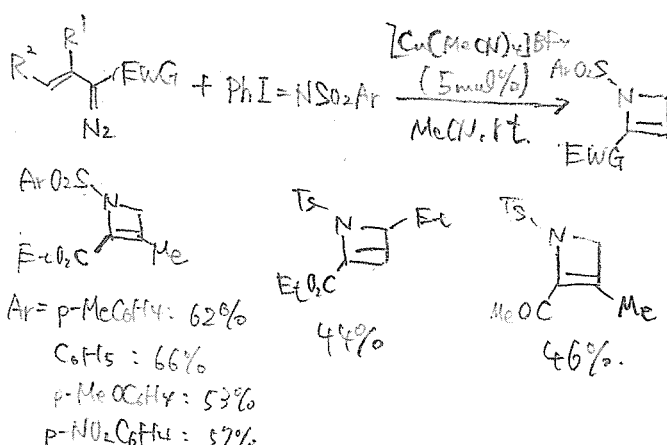
<Previous Work>



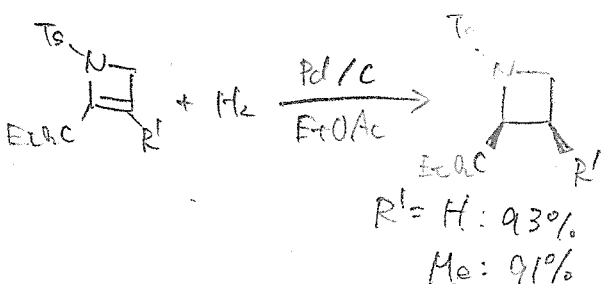
<Proposed Mechanism>



<This Work>



<Synthesis of Azetidine>



Metal- and Chemical-Oxidant-Free C-H/C-H Cross-Coupling of Aromatic Compounds: The Use of Radical-Cation Pools

Cation-pool method

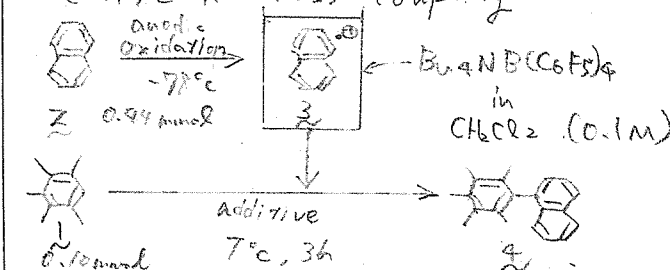
低温電子移動反応



R = チュメイジン、アミン、アリル

カルボニル基の発生量が直線化される。

C-H/C-H cross-coupling



T [°C]	Additive	Yield of 4 (%)	Recovered 1 (%)
-40	-	11	40
-78	-	33	55
-70	-	27	52
-40	OME (0.5 mL)	41	-

3は過剰量必要→系内でえとまかし
aromatic ringの活性化やアーチャー化が進む。
1と3の酸化反応における酸化剤として働く。

additiveの効果

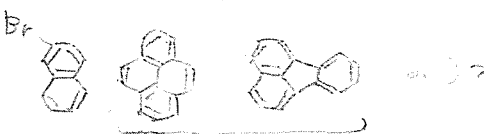
低温中の3の溶解性を高めている。

Scope 10 examples 36~87%

Ar'H (1に対応)

へ-ゼン類 インドール類 ハロゲン化物等
電子不足のものは低収率、ヨウ素を含むのがok

Ar'2H (2に対応)



Bu4NPF6 添加しても効率は△

regioselectivity

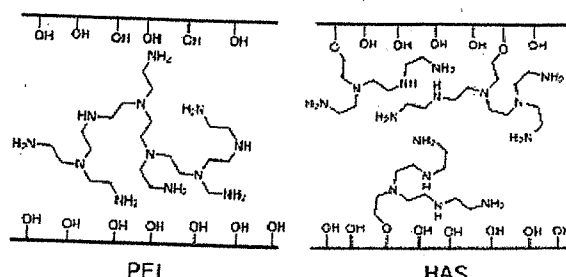
DFT計算により Ar'Hの HOMOの軌道密度と

Ar'2Hのスピノ密度を算出し 位置選択性へつながる。

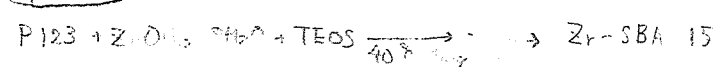
Dramatic Enhancement of CO₂ Uptake by Poly(ethyleneimine) Using Zirconosilicate Supports

CO₂ 固体吸着材の開発

最近特に多いのが Silica-supported amines.



(Synthesis) (合成法はそれを用いています)

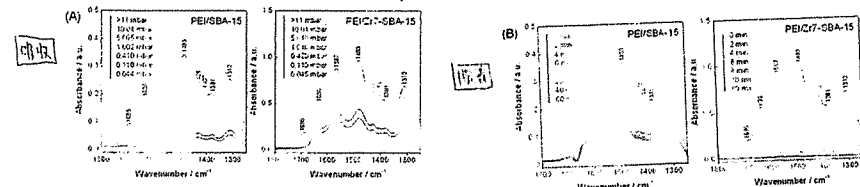


(Zr-SBA-15の合成方法)

Adsorbent	Zr/Si ^a	PEI loading ^b (wt%)	Amine content (mmol N/g)	without PEI		with PEI		Occupancy rate ^c (%)	CO ₂ adsorption ^d				
				S _{HET} ^e (m ² /g)	V _{total} ^f (cm ³ /g)	d _g ^e (nm)	S _{HET} ^c (m ² /g)	V _{total} ^d (cm ³ /g)	d _g ^e (nm)	400 ppm (mmol CO ₂ /g)	10% (mmol CO ₂ /g)		
PEI/SBA-15	-	-	30.8	7.40	683	1.19	8.5	242	0.639	7.3	35	0.19	0.65
PEI/Zr4-SBA-15	0.05	0.038	33.0	7.92	642	1.08	8.6	205	0.460	7.3	43	0.64	1.34
PEI/Zr7-SBA-15	0.10	0.070	34.7	8.33	647	1.23	9.5	230	0.613	7.8	41	0.85	1.56
PEI/zr11-SBA-15	0.15	0.109	33.1	7.95	601	0.692	7.0	101	0.179	5.8	67	0.83	1.41
PEI/zr14-SBA-15	0.20	0.138	34.5	8.28	510	0.395	4.4	<1.0	<0.01	N.D. ^h	124	0.26	0.24

^aDetermined by elemental analysis. ^bDetermined by TGA. ^cCalculated from the adsorption branch of the N₂ isotherm. ^dValues at P/P₀ = 0.99. ^eEstimated by the BdB-FHH (Frenkel-Halsey-Hill-modified Broekhoff-de Boer) method. ^fDefined by the equation [occupancy rate (%)] = [calculated aminopolymers volume (cm³_{aminopolymers/SiO₂]) / V_{total} of bare adsorbent (cm³/g)] × 100%, assuming a PEI density of 1.07 cm³/g. ^gMeasured at 25 °C under dry conditions (adsorption time 12 h). ^hN.D. = no determined.}

(FT-IR) (absorbed CO₂: 1310cm⁻¹CF₃, 1430cm⁻¹, 1470cm⁻¹, 1510cm⁻¹)



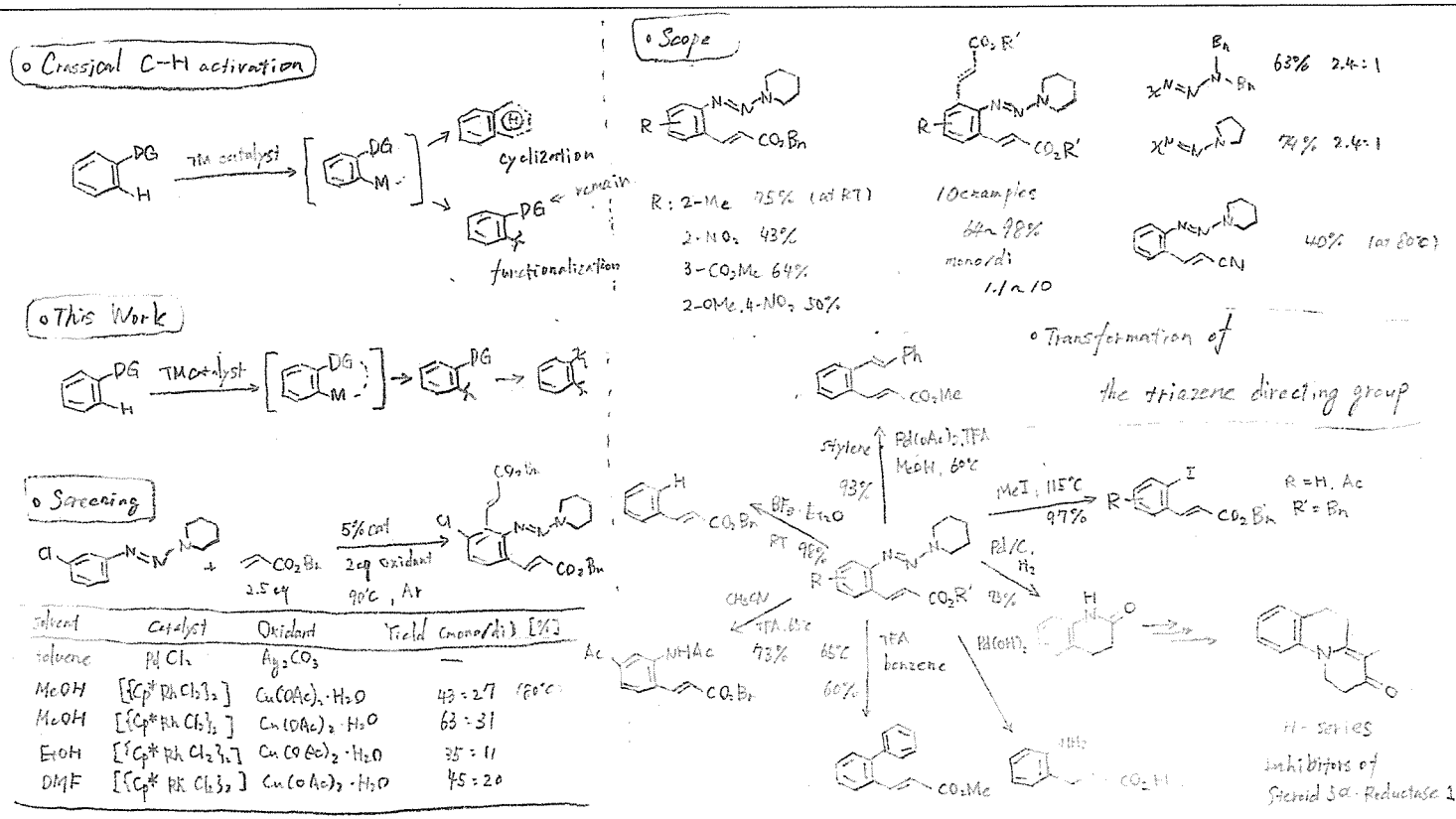
FT-IR (1100~1500cm⁻¹)

Zr-SBA-15 → 吸收率を4回検証しても変わらず

PEI-SBA-15 → 吸收率を4回検証しても変わらず

PEI/Zr-SBA-15 → 吸收率を4回検証しても変わらず

Rhodium(III)-Catalyzed C–H Activation of Arenes Using a Versatile and Removable Triazene Directing Group



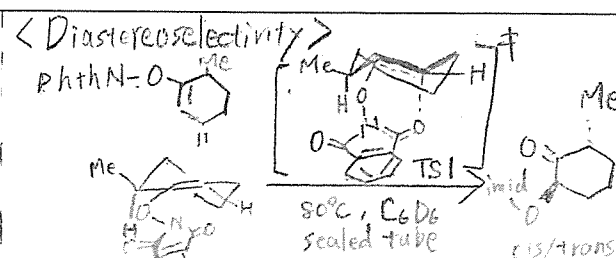
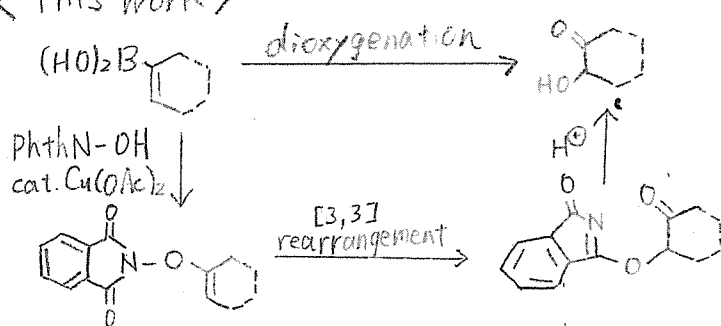
Sascha Ott et al | Uppsala University (Sweden) | Angew. Chem. Int. Ed. Engl. 2021, 60, 10215–102153 | M1 獨島

Cascade Reactions Forming Highly Substituted, Conjugated Phospholes and Phosphates

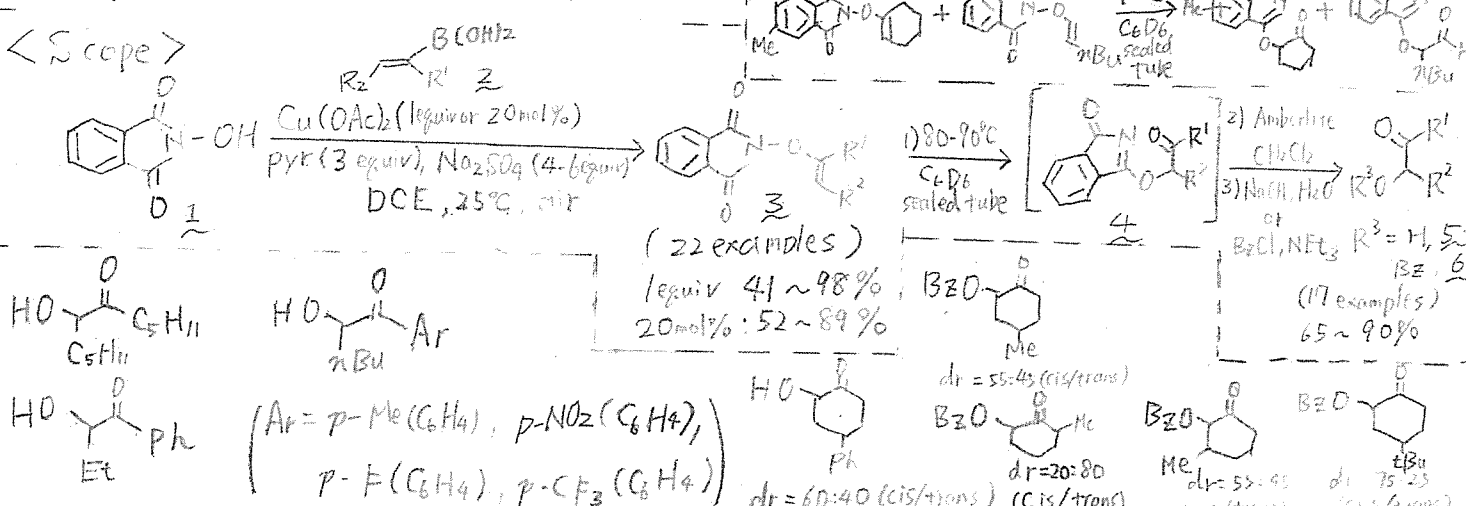
• Phospho-Wittig Horner (pWH) reaction

Preparation of α -Oxygenated Ketones by the Dioxygenation of Alkenyl Boronic Acids

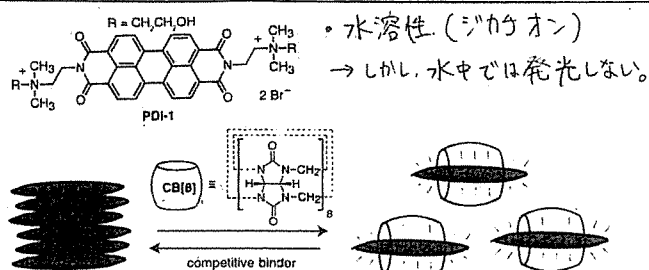
<This work>



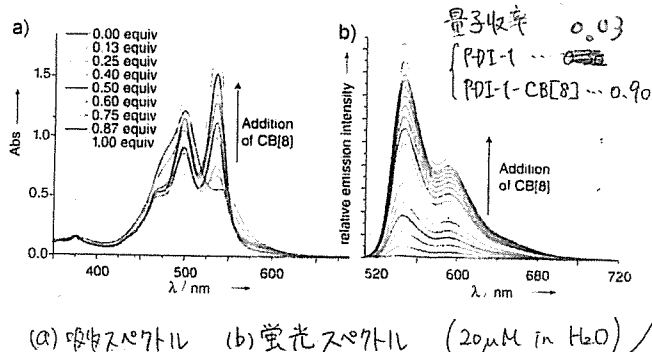
<Scope>



Strongly Fluorescent, Switchable Perylene Bis (dione) Host-Guest Complexes with Cucurbit[8]uril In Water



- PDI-1 水溶液に CB[8] を加えることで、 $\pi-\pi$ stacking が緩和されて蛍光を発するようになる。
(吸収と蛍光強度も、CB[8] が多いほど、大きくなる。)



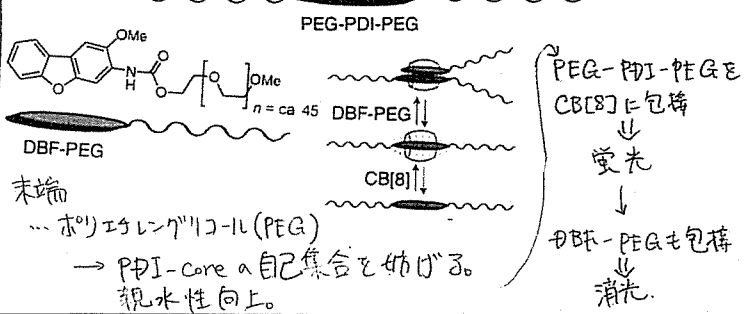
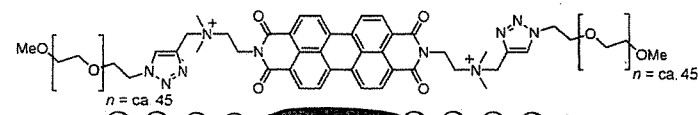
Cucurbit[8]uril (CB[8])

…比較的大きく、PDI-1 に加えて同時にもう1分子 (2nd guest) 包持可能。

(PDI-1 2分子は大粒的上無理。)

2nd guest \cdots dimethylviologen $H_3C-\overset{+}{N}(\text{CH}_3)_2-\text{C}_6H_4-\overset{+}{N}(\text{CH}_3)_2-CH_3$
Azobenzene (electron-rich)

＊ボリマーで同様に…



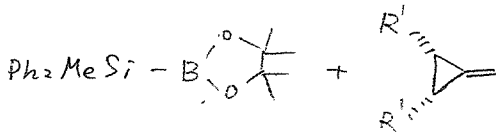
Enhanced Catalyst Activity and Enantioselectivity with Chirality-Switchable Polymer Ligand PQXphos in Pd-Catalyzed Asymmetric Silaborative Cleavage of meso-Methylene cyclopropanes

Polymer Ligand

- ・復元力の回復が“容易”
 - ・“Long-range steric effect” ($i=j$)
角距離の二乗を“ γ ”

⇒ Pd触媒を用いた、セロゲン化反応、
鈴木・宮浦らのアリニグラン反応で、
高いエナチオ選択性。

<This Work>

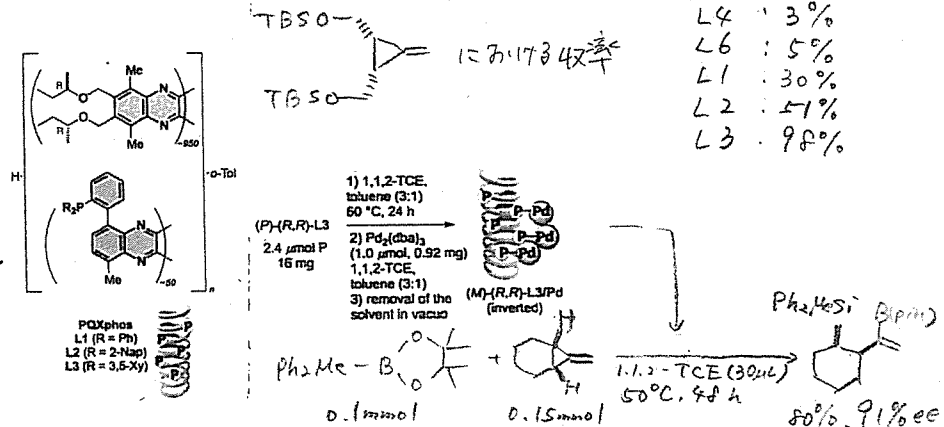
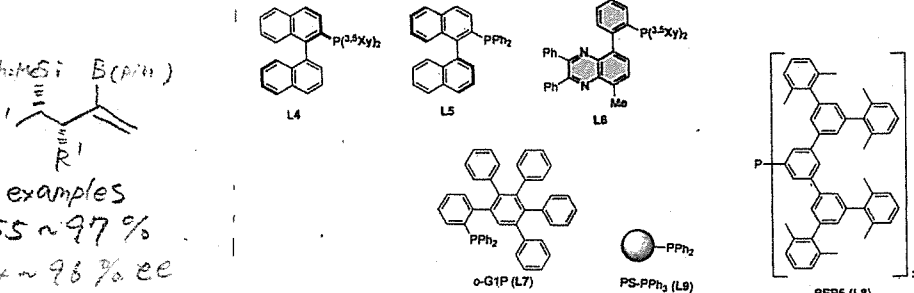


$\text{Pd}(\text{Catalyst})_2$ (2 mol %) $\text{Ph}_2\text{P}(\text{S})\text{Si}(\text{CH}_3)_2$
Ligand (2.4 mol %) $\text{R}' \begin{array}{c} \equiv \\ \parallel \\ \equiv \end{array} \text{B}(\text{Pin})_2$
Toluene, 50 °C

7 examples

55~97%

94 - 96% EE



最終的 $\text{Pd} = 0.2\text{mol}\%$, Hg^{2+} 濃度 $= 0.01\text{M}$ にて進行
(76%, 96%ee)